ФИЗИКА

УДК 535.44:621.378

Н. С. БЕЛОКРИНИЦКИЙ, А. В. ГНАТОВСКИЙ, М. В. ДАНИЛЕЙКО, В. П. ЗАХАРОВ, М. Т. ШПАК

ГОЛОГРАФИЧЕСКАЯ ЗАПИСЬ ИНФОРМАЦИИ НА АМОРФНЫХ ПОЛУПРОВОДНИКОВЫХ ПЛЕНКАХ

(Представлено академиком Б. Е. Патоном 22 V 1972)

Успешное развитие оптических методов записи и обработки информации во многом будет определяться информационной емкостью запоминающих устройств, быстродействием, возможностью многоканального ввода и вывода данных и т. д. Все эти требования стимулируют поиск и разработку новых веществ для использования их в системах когерентной оптики и голографии. В настоящей работе сообщается об использовании эффекта локального изменения структурных и оптических характеристик (¹) широкого класса полупроводниковых соединений (InSb, InSe, InTe, GaTe, GeTe, Te).

Ранее сообщалось (2), что в пленках GeTe под действием мощных световых импульсов наблюдается рост кристаллитов, сопровождающийся из-

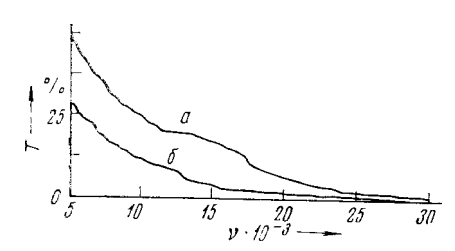


Рис. 1. Спектр пропускания GeTe. а в аморфной, б—в кристаллической фазе

менением физических и оптических свойств соединения. Мы исследовали спектры отражения и пропускания указанных выше соединений в аморфной и кристаллической фазе. Спектры записывались на двухлучевом спектрометре Sp 700 фирмы «Unicum» в области 0,3—2,5 µ.

Для различных фаз величины коэффициентов отражения и пропускания существенно отличаются, и их в значительной мере можно изменять толщиной напыленного слоя. Особенный интерес представляют спектраль-

ные характеристики GeTe. Типичная спектрограмма для образца GeTe в области 0,3—2,0 µ приведена на рис. 1. В работе (³) различие коэффициентов отражения для различных фаз в GeTe наблюдалось и в дальней и.-к. области спектра в диапазоне 5—300 µ. Такое различие можно связать с изменением характера кристаллических связей в образце при кристаллизации (²). Для других веществ изменение пропускания возможно и за счет укрупнения зерен кристаллитов, что необязательно сопровождается изменением характера межатомных связей.

Возникающие различия оптических характеристик участков пленок, находившихся в узлах и пучностях действия светового поля при интерференции двух пучков, могут быть использованы для записи штрихов голографической решетки в широком спектральном диапазоне.

Для записи голограммы использовалась оптическая схема, показанная на рис. 2. Объектами служили амплитудные транспаранты площадью от 2×2 мм² до 45×45 мм². Запись осуществлялась при освещении объекта непосредственно лазерным лучом и диффузно рассеивающим свет матовым стеклом. Источниками записи служили неодимовый и рубиновый ОКГ в режимах свободной генерации, гигантского импульса и серии гигантских импульсов. Проведенные калориметром ИКТ-1 измерения энергии записы-

вающих пучков показали, что для записи голограммы в режиме гигантского вмпульса достаточна энергия $\sim 5 \cdot 10^{-4}$ дж/мм². Время записи голограммы в этом режиме составляло ~ 50 нсек. Голограммы объектов записывались при углах схождения интерферирующих пучков, достигавших 50°. Кроме того, ва всех указанных соединениях были записаны голограммы поля излуче-

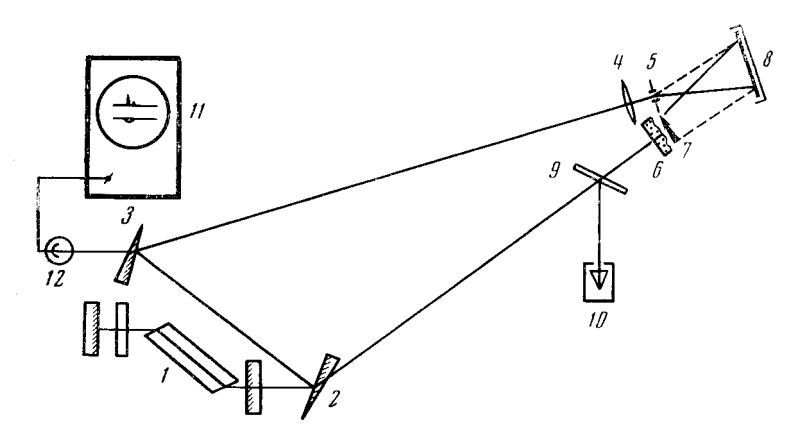


Рис. 2. Схема записи голограммы: I — ОКГ, лазер с модуляцией добротности; 2, 3 — расщепительное и поворотное зеркала на клиновидных подложках; 4, 5 — линза и диафрагма, формирующие опорный пучок; 6 — рассепватель (матовое стекло); 7 — транспарант; 8 — голограмма. Часть энергии пластиной 9 направляется на калориметр ИКТ-1 (10). 11 — оспиллограф ОК-17М; 12 — фотоприемник

ния ОКГ (4) при углах схождения пучков, обеспечивающих пространственную частоту свыше 1100 лин/мм. Восстановление изображений осуществлялось лазером ЛГ-126 излучением с длиной волны 0,63 μ и 1,15 μ К.п.д. голограммы на этих частотах $\eta \approx I_0/I_1$ составлял 1—3%. Фотографии неко-

торых из полученных изображений приведены рис. 3. Были получены голографические изображения полутоновых объектов, что указывает на наличие некоторого динамического диапазона у ряда исследованных носителей, который может быть связан как с различием показателей преломления соединений в различных фазах, так и с характером поглощения и рассеяния света штрихами решетки при различных энергиях.

Остановимся на механизме образования дифракционного штриха голограммы. Исследования на электронном и оптическом микроскопах показали, что размер зерен в аморфной



Рис. 3. a — транспаранты, использованные для записи голограмм; b — восстановление изображения этих же объектов; запись производилась рубиновым ОКГ в режиме свободной генерации (I) и неодимовым ОКГ в режиме гигантского импульса (II)

пленке составляет $\sim 10-15$ Å. При взаимодействии с излучением, энергия которого превышает некоторую пороговую величину, в местах пучности поля начинается кристаллизация, сопровождающаяся ростом кристаллитов.

Исследования участков такой решетки, проведенные на растровом электронном микроскопе в режиме сканирования по линии, показали значительное различие в эмиссионной способности узлов и пучностей голограммы. Полученный график носит характер периодических трапецевидных выбросов с седловидной вершиной. При дальнейшем увеличении энергии излучения ОКГ в несколько раз начинается частичное плавление и испарение вещества пленок, а в местах узлов поля также отмечается появление кристаллитов.

Важным достоинством данного класса соединений является прямое получение голограммы, не требующее ее последующей обработки. Это свойство, наряду с большой скоростью записи, может оказаться полезным при

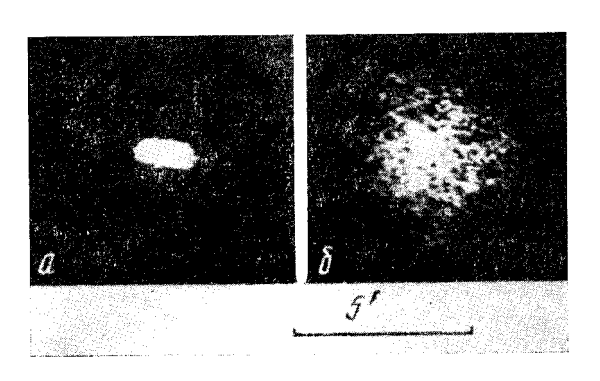


Рис. 4. а — предельно достижимые угловые размеры автокорреляционного пика в случае тождественного распределения фазы в поле излучения ОКГ при записи и восстановлении голограммы; б — случай нестационарного распределения фазы за счет нагрева активного элемен-

использовании таких носителей в некоторых системах распознавания образцов и голографической интерферометрии.

Нами были проведены опыты по оценке стационарности распределения энергии в поле излучения неодимового ОКГ в режиме гигантского импульса. Схема опытов была аналогична использованной для уменьшения расходимости лазерного излучения голографическим методом (5). При такой схеме одно из восстановленных изображений имеет поле в дальней зоне, описываемое функцией взаимной корреляции пространственного спектра поля ОКГ в момент записи и в последующие моменты восстановления. В случае стационарности поля в центре картины должен паблюдаться резкий корреляционный пик (рис. 4a). На рис. 4b показана функция взаимной корреляции поля излучения ОКГ при недостаточно охлажденном состоянии активной среды.

Использование аморфных полупроводниковых пленок на стеклянной подложке хорошего оптического качества позволило исключить все искажения, связанные с перемещением и деформацией голограммы, неизбежно возникающими при ее обработке.

Таким образом, характеристики рассмотренного класса носителей — скорость записи, большая информационная емкость, возможность использования в широком спектральном диапазоне, отсутствие последующей обработки — позволяют считать их весьма перспективными в различных системах записи и обработки оптической информации.

Авторы выражают благодарность В. Н. Павлюку за проведение экспериментов.

Институт электросварки пм. Е. О. Патона Академии наук УССР Киев Поступило 15 V 1972

ЦИТИРОВАННАЯ ЛИТЕРАТУРА

¹ Н. С. Белокриницкий, А. В. Гнатовский и др., Письма в ЖЭТФ, 15, 4, 198 (1972). ² В. П. Захаров, В. И. Залива, Кристаллография, 17, 198 (1972). ³ S. K. Bahl, K. L. Chopra, J. Appl. Phys., 40, № 12, 4940 (1968). ⁴ М. Д. Бондаренко, А. В. Гнатовский, М. С. Соскин, УФЖ, 14, № 2 (1969). ⁵ М. Д. Бондаренко, А. В. Гнатовский, М. С. Соскин, ДАН, 187, 538 (1969).